

Implementasi Error Checking dalam Integritas Pengiriman Data Pada Komunikasi Ground Control Station dan UAV Menggunakan Algoritma CRC

Reksa Qodri Assidik^{*}, Kurnia Muludi, Joko Triloka

Fakultas Ilmu Komputer, Magister Teknik Informatika, Institut Informatika dan Bisnis Darmajaya, Bandar Lampung,
Indonesia

Email: ^{1,*}reksaqodri@gmail.com, ²kurnia@darmajaya.ac.id, ³joko.triloka@darmajaya.ac.id

Email Penulis Korespondensi: reksaqodri@gmail.com

Submitted: 21/08/2024; Accepted: 31/08/2024; Published: 31/08/2024

Abstrak—Komunikasi wireless adalah komunikasi secara wireless atau tanpa kabel contoh komunikasi wireless adalah transfer informasi apapun secara jarak jauh tanpa menggunakan kabel. Pengiriman data secara nirkabel mempunyai tingkat kehilangan data yang sangat besar. Kehilangan data dalam jaringan sensor nirkabel umum dan mempunyai pola khusus karena banyak faktor terjadi kerusakan yang tidak terduga yang sangat mengurangi akurasi rekonstruksi. Maka dari itu perlu adanya pengamanan data agar data yang dikirim secara nirkabel akan tetap aman pada saat proses mengirim dan menerima Kontes Robot Terbang Indonesia (KRTI) merupakan kompetisi pesawat tanpa awak yang sangat bergengsi di Indonesia yang di selenggarakan oleh Kementerian Riset, Teknologi, dan Pendidikan Tinggi Republik Indonesia melalui Pusat Prestasi Nasional yang di gunakan untuk seluruh perguruan tinggi di Indonesia. dalam kompetisi ini peserta di wajibkan membuat pesawat tanpa awak dengan sistem kendali sebagai pesawat kendali dan membuat *Ground Control Station* (GCS) yang dimana kendaraan tersebut harus dapat terbang dan menjalankan misi sesuai dengan peraturan yang tertera dalam kompetisi pedoman teknis.Dalam penelitian ini di khususkan pada pengamanan data pada saat pengiriman ke *Ground Control Station*. pembuatan *Ground Control Station* menggunakan Node.js dalam merancang desain *front end* dan *back end* serta nilai yang akan di kirim peneliti menggunakan alat desain sederhana menggunakan Arduino Mega sebagai pengontrol transmisi data, sensor yang digunakan menggunakan Mpu 6050 Inertial Measurement Unit (IMU) dan Global Positioning System (GPS) Neo 8m, dan telemetri yang digunakan adalah NRF24L01. Berdasarkan hasil pengujian dengan mengirimkan 11 data sensor menggunakan checksum di dapatkan bahwa jumlah data sensor yang masuk ke *Ground Control Station* masih aman dan dapat meminimalisir kerusakan paket data serta menggunakan Cyclic Redundancy Check (CRC) sebagai checksumnya. keutuhan data yang di terima tetap terjaga dengan cukup baik karena algoritma Cyclic Redundancy Check (CRC) mampu membuang data yang tidak lengkap/rusak. Dari hasil penelitian sementara dengan menggunakan algoritma CRC sebagai error checking dapat mampu mendetectsi paket-paket yang rusak saat dikirim ke receiver dapat terlihat jelas dari segi jarak,saat pengujian jarak tanpa menggunakan CRC dengan varian jarak 10 sampai 50 meter terjadi kerusakan paket data dan semakin jauh komunikasi yang dilakukan paket yang rusak semakin banyak. Dari jarak yang paling jauh yaitu 50 meter,dari 5 percobaan pengiriman dan di setiap percobaan selalu ada paket data yang mengalami kerusakan paket data, namun dengan menggunakan algoritma CRC dalam error checking di jarak varian jarak 10 sampai 50 meter dalam 5 kali percobaan pengiriman dan diambil 10 paket yang dikirim masih belum ada paket yang rusak alias 0% kerusakan paket data.

Kata Kunci: KRTI; Ground Control Station; Cyclic Redundancy Check; Sensor; UAV

Abstract—Wireless communication is communication wirelessly or without cables. For example, wireless communication is the transfer of any information over long distances without using cables. Wireless data transmission has a very large data loss rate. Data loss in wireless sensor networks is common and has a special pattern due to many factors, unexpected damage occurs which greatly reduces the reconstruction accuracy. Therefore, it is necessary to secure data so that data sent wirelessly will remain safe during the sending and receiving process. The Indonesian Flying Robot Contest (KRTI) is a very prestigious unmanned aircraft competition in Indonesia which is organized by the Ministry of Research, Technology and Education. Republic of Indonesia Higher Education through the National Achievement Center which is used for all universities in Indonesia. in this competition participants are required to make an unmanned aircraft with a control system as a control aircraft and create a Ground Control Station (GCS) where the vehicle must be able to fly and carry out missions in accordance with the regulations stated in the competition's technical guidelines. This research is specifically focused on data security when sending to the Ground Control Station. making a Ground Control Station using Node.js in designing the front end and back end designs as well as the values that will be sent by researchers using a simple design tool using Arduino Mega as a data transmission controller, the sensors used use Mpu 6050 Inertial Measurement Unit (IMU) and Global Positioning System (GPS) Neo 8m, and the telemetry used is NRF24L01. Based on the test results by sending 11 sensor data using a checksum, it was found that the amount of sensor data entering the Ground Control Station was still safe and could minimize damage to data packets and used Cyclic Redundancy Check (CRC) as the checksum. The integrity of the data received is maintained quite well because the Cyclic Redundancy Check (CRC) algorithm is able to discard incomplete/damaged data. From the results of temporary research, using the CRC algorithm as error checking can detect damaged packets when sent to the receiver, it can be seen clearly in terms of distance, when testing the distance without using CRC with a distance variant of 10 to 50 meters, data packet damage occurs and the further away it is. More and more communications are being carried out with damaged packets. From the farthest distance, namely 50 meters, from 5 sending attempts and in each experiment there was always a data packet that was damaged, but by using the CRC algorithm in error checking at a distance of 10 to 50 meters in 5 sending attempts and it was picked up. In the 10 packages sent, there were still no damaged packages, aka 0% data package damage.

Keywords: KRTI; Ground Control Station; Cyclic Redundancy Check; Sensors; Unmanned Aircraft

1. PENDAHULUAN

Era modernisasi merupakan perubahan zaman dari kurang berkembang ke arah yang lebih baik dengan harapan kehidupan masyarakat tidak ketinggalan zaman. Salah satu modernisasi tersebut adalah dalam bidang teknologi. Kemajuan teknologi menjadi landasan bagi pembangunan kehidupan berbangsa dan bernegara. Suatu negara di katakan maju jika ilmu pengetahuan dan teknologi di kuasai di negara tersebut. Dapat kita lihat dalam kehidupan masyarakat saat ini, bahwa teknologi telah menjadi landasan dalam menjalankan kehidupan sehari-hari. Dengan semakin pesatnya perkembangan teknologi memberikan dampak positif yang dapat di rasakan oleh masyarakat, seperti: memudahkan manusia dalam menyelesaikan pekerjaannya.

Nirkabel komunikasi adalah komunikasi secara *nirkabel* atau tanpa kabel. Penelitian tentang *nirkabel* komunikasi telah dilakukan sejak tahun 1960an. contohnya [1] pada penelitian Budiman dan F. Tan (2023) dari *nirkabel* komunikasi adalah transfer informasi apapun dari jarak jauh tanpa menggunakan kabel. Transmisi data *nirkabel* memiliki tingkat kehilangan data sebagian atau seluruhnya yang sangat tinggi. Kehilangan data pada jaringan sensor *nirkabel* merupakan hal biasa dan mempunyai pola khusus yang di sebabkan olehnya kebisingan, tabrakan, tautan yang tidak dapat di andalkan, dan kerusakan tak terduga yang sangat mengurangi keakuratan rekonstruksi. Pada kendaraan yang mempunyai daya jelajah yang luas atau dikenal dengan sebutan Kendaraan Udara Tak Berawak (UAV), UAV (Kendaraan Udara Tak Berawak) dikenal sebagai unberawak pesawat terbang. UAV di definisikan sebagai pesawat tanpa pilot yang menggunakan gaya aerodinamis untuk terbang, baik secara otomatis dengan bantuan auto pilot atau di kendalikan dari jarak jauh dan dapat membawa muatan atau tidak. UAV telah di kembangkan untuk berbagai tujuan mulai dari kemampuan melakukan berbagai jenis misi penginderaan baik untuk sipil maupun militer hingga pemantauan gedung. UAV sendiri merupakan suatu sistem yang terdiri dari beberapa subsistem.

Penelitian dan pengembangan sistem UAV sangatlah luas, salah satunya pada penelitian[2] junarto R dan Djurjani D (2020) jika dikategorikan maka akan menjadi beberapa sub bagian kendaraan udara, Stasiun Kontrol Darat, muatan, Tautan data Dan peralatan pendukung. Dalam operasi UAV, itu Stasiun Kontrol Darat bertugas sebagai stasiun pemantau dan komando agar operator di lapangan dapat mengirimkan perintah misi, mengawasi jalannya misi dan memantau kondisi UAV selama menjalankan misi. Stasiun Kontrol Darat (GCS) dalam memantau kondisi UAV bergantung pada kemampuan komunikasi antara GCS dan UAV. Stasiun kendali darat dapat memantau kondisi UAV pada jarak terbatas. Pasalnya, komunikasi antara GCS dan UAV menggunakan jaringan lokal. Sehingga coverage areanya terbatas dan GCS tidak bisa diakses oleh operator di luar area jaringan lokal. Stasiun kendali darat yang hanya dapat memantau kondisi dan mengendalikan UAV pada jarak yang terbatas tentu kurang baik, karena untuk melakukan pengawasan di butuhkan sebuah lapangan stasiun kendali diperlukan yang dapat memberikan pemantauan terus menerus terhadap kondisi dan pengendalian UAV. Jadi a stasiun kendali darat di perlukan sistem yang mampu terhubung dengan UAV tanpa di batasi jangkauan kendali pemancar. Sistem ini di harapkan dapat memberikan kemudahan dalam pengoperasian pesawat tanpa awak. Data tersebut di kirim melalui telemetri berupa frekuensi radio. Telemetri *nirkabel* dapat memberikan kemudahan dalam pengukuran, pemantauan dan mendobrak hambatan dalam memperoleh informasi.

[3] Transmisi data disebut komunikasi data atau informasi dari dua atau lebih perangkat yang terhubung dalam suatu jaringan, pada dasarnya komunikasi data merupakan penggabungan dunia komunikasi dan komputer, umumnya komunikasi data mempunyai komponen dasar sistem yaitu sumber atau (pemancar atau pengirim). Sumber artinya pengirim atau penyampai informasi data, lalu ada yang namanya media transmisi adalah saluran yang melaluinya informasi tersebut disalurkan sampai ke tujuan. Media yang dibutuhkan bisa berupa kabel, udara, cahaya, dan lain sebagainya. dan yang terakhir adalah receiver, yaitu perangkat yang menerima informasi yang di kirimkan. Oleh karena itu penulis merancang aplikasi dengan menggunakan telemetri frekuensi radio sebagai komunikasi datanya dan untuk pengembangan ini penulis hanya fokus pada pengiriman data yang dikirim oleh UAV dan pada tahap pengujian pengiriman data UAV tidak di terbangkan karena agar penulis dapat memfokuskan penelitiannya pada pengamanan data saja serta meminimalisir terjadinya *crash* yang dapat menghambat proses penelitian.

Penelitian ini bertujuan untuk mengembangkan sistem keamanan transmisi paket data untuk mencegah kerusakan paket data. Permasalahan ini akan di bahas dengan batasan-batasan seperti tidak membahas pembuatan UAV, pengujian di lakukan tanpa menerbangkan UAV, fokus pada komunikasi data, dan jarak pengujian maksimal 50 meter. Tujuan dari penelitian ini adalah untuk membangun protokol komunikasi yang aman dan memastikan validasi data yang di terima pada aplikasi stasiun kendali darat. Manfaat penelitian ini antara lain dapat memberikan kontribusi bagi tim Pengembangan Teknologi pada kompetisi Kontes Robot Terbang Indonesia (KRTI) dan menjadi referensi penelitian di bidang komunikasi data khususnya yang menggunakan telemetri. Meskipun banyak penelitian telah dilakukan terkait UAV dan Ground Control Station (GCS) terdapat beberapa kesenjangan yang belum diatasi sepenuhnya yaitu keamanan data dalam trasmisi telemetri Penelitian sebelumnya lebih menitiberatkan pada pengembangan aplikasi pengendali UAV, pemantauan system berbasis IOT dan infrastruktur GCS tanpa focus yang kuat pada keamanan data. Kesenjangan utama adalah kurangnya perhatian terhadap proteksi data yang dikirimkan dari UAV dan ke GCS, khususnya untuk mencegah kerusakan atau manipulasi data selama transmisi. Meskipun algoritma seperti CRC digunakan dalam berbagai aplikasi untuk mendeteksi error dalam data, penelitian terdahulu tidak

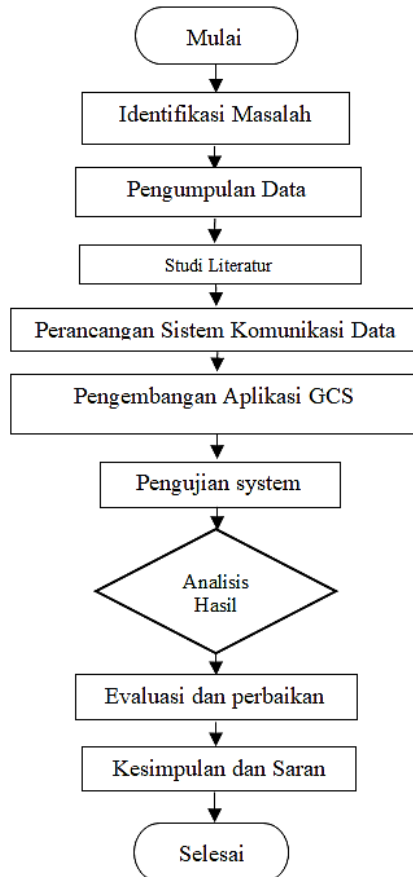
mengintegrasikan algoritma ini secara khusus dalam konteks komunikasi data UAV. Implementasi CRC untuk memvalidasi data yang dikirim oleh UAV belum banyak diteskplorasi, terutama dalam kaitannya dengan transmisi telemetri

Penelitian ini mengulas beberapa penelitian sebelumnya terkait transmisi dan keamanan data pada UAV dan *Ground Control Stations* (GCS). [4]Yudhanto (2020) mengkaji penggunaan sensor termokopel berbasis telemetri untuk mengukur suhu propelan roket. [5]Sahifa, Setiawan, dan Yazid (2020) mengembangkan sistem pemantauan hemodialisis berbasis IoT, dan [6]Rahmatullah dan Rizki (2021) mengeksplorasi manajemen komunikasi data pada arsitektur Delay Tolerant Network. Nugroho, [7]Sumiharto, dan Hujja (2018) mengembangkan sistem GCS berbasis web server untuk pesawat tanpa awak. Penelitian ini fokus pada pengamanan data yang dikirimkan UAV ke GCS dengan menggunakan algoritma *Cyclic Redundancy Check* (CRC) untuk pengecekan error.

2. METODOLOGI PENELITIAN

2.1 Tahapan Penelitian

Penelitian ini dilaksanakan di laboratorium Robotika Madrasah Aliyah Negeri 1 Metro dengan fokus pada data sensor UAV dan komunikasi data antara UAV dengan GCS sebagai aplikasi monitoring Kontes Robot Terbang Indonesia (KRTI) divisi *Technology Development* (TD). Alat dan bahan penelitian meliputi perangkat keras seperti laptop, Arduino Mega, telemetri, GPS, dan sensor IMU, serta perangkat lunak antara lain Windows 10, Node.js, C++, dan Visual Studio. Penelitian tersebut mengikuti aturan divisi TD KRTI 2023 yang fokus pada pengembangan aplikasi monitoring UAV melalui GCS. Tahapan penelitian meliputi analisis kebutuhan, perancangan GCS dan perancangan aplikasi, serta perancangan protokol komunikasi. Aplikasi GCS dirancang untuk menerima data sensor UAV menggunakan telemetri, dengan spesifikasi teknis melibatkan framework Node.js dan bahasa pemrograman C untuk Arduino Mega. Protokol komunikasi mencakup format data yang dikirim dari UAV ke GCS, diagram penelitian dapat di lihat pada gambar 1.



Gambar 1. Tahapan Penelitian

2.2 Alat dan Bahan Penelitian

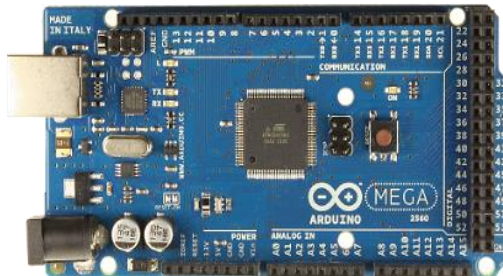
Alat dan bahan yang digunakan dalam penelitian ini terdiri dari perangkat keras computer (*hardware*) dan perangkat lunak (*software*). Dan bahan penelitian yang digunakan mengacu pada aturan perlomba pada Kontes Robot Terbang Indonesia (KRTI) 2023 divisi *Teknology Development* (TD).

2.2.1 Perangkat Keras

Perangkat keras yang di gunakan pada penelitian ini adalah sebagai berikut :

1. Laptop sebagai media pemograman (Prosessor Intel Core i5 2,6Ghz, RAM 8GB, HDD500GB),
2. Arduino Mega

Arduino Mega adalah salah satu jenis papan mikrokontroler (microcontroller board) yang nantinya digunakan sebagai controller alat transmitter dan receiver dapat diliat pada gambar 2.



Gambar 2. Arduino Mega

3. Telemetri

Telemetri adalah proses pengukuran dan pengumpulan data dari jarak jauh yang nantinya digunakan sebagai alat pengiriman paket data, dapat diliat pada gambar 3.



Gambar 3. Telemetri nrf24l01

4. GPS

Sistem navigasi berbasis satelit yang memungkinkan pengguna untuk menentukan lokasi geografis (posisi) mereka dengan akurasi tinggi di mana saja di permukaan Bumi.,gambar gps dapat diliat pada gambar 4.



Gambar 4. GPS Neo 8m

5. IMU sensor

Perangkat sensor yang digunakan untuk mengukur dan melacak orientasi, kecepatan, dan posisi suatu objek secara real-time. bentuk sesuai pada 5.



Gambar 5. Imu Sensor

2.2.2 Perangkat Lunak

Perangkat lunak yang di gunakan dalam penelitian adalah sebagai berikut :

1. Sistem Operasi Microsoft Windows 10
2. Menggunakan Node.Js sebagai Perancangan *Front End*
3. Bahasa C++ sebagai Bahasa Pemograman Arduino
4. Visual Studio sebagai text editor untuk penulisan syntax program

2.3 Persiapan Penelitian

Bahan penlitian yang digunakan dalam penelitian ini adalah aturan perlomba dalam Kontes Robot Terbang Indonesia 2023 divisi *Teknology Development* (TD) yang dikeluarkan oleh panitia, pada lomba ini masuk kedalam divisi TD dicabang *Ground Control Station* (GCS). Yang dimana peserta membuat aplikasi monitoring untuk pemantauan wahana UAV dan aplikasi tersebut dapat menerima data data sensor yang di ambil dari UAV dengan menggunakan saluran nirkabel.

2.3.1 Analisis Kebutuhan

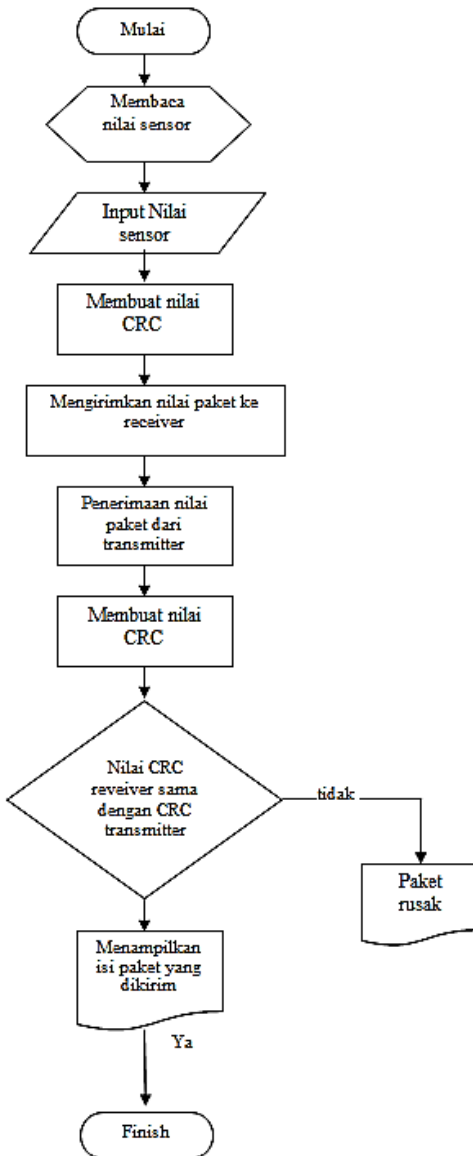
Pada tahapan ini penlitian melakukan analisis kebutuhan dalam merancang dan membangun aplikasi *Ground Control Station* (GCS) untuk memonitoring sikap wanana UAV namun untuk penelitian ini UAV yang di jadikan object penelitian tidak untuk di terbangkan atau masih dalam bentuk *protoype* karna peneliti hanya berfokus kepada pengiriman data saja.

1. Aplikasi GCS yang akan di bangun
GCS yang di bangun merupakan aplikasi monitoring yang dapat menerima data sensor menggunakan telemetri yang data tersebut di kirim langsung dari jarak jauh.
2. Spesifikasi *Ground Control Station* (GCS)
 - a. *framework* yang di gunakan dalam pembuatan *Front End* adalah *Node.js* karna menggunakan *Node.js* sudah *production ready* atau sudah siap untuk di jalankan.
 - b. Bahasa Pemograman yang di gunakan ialah C dalam memprogram microcontroller Arduino mega

2.3.2 Rancangan Keseluruhan Sistem

System ini melibatkan dua komponen utam yaitu pemancar dan penerima, pemancar / transmisster bertugas mengirimkan data dari satu titik ke titik lainnya. Data yang akan dikirimkan biasanya diubah menjadi sinyal baik berupa sinyal analog ataupun signal digital agar dapat ditansmisikan melalui media komunikasi seperti kabel/gelombang radio sedangkan penerima/receiver bertugas menerima sinyal yang dikirimkan oleh pemancar setelah sinyal diterima penerima akan mengubahnya kembali menjadi bentuk data asli yang akan dimengerti oleh perangkat atau system yang menerimanya untuk bagian pemancar mengirimkan data dalam bentuk paket,Setiap paket data dilengkapi dengan nilai CRC (Cyclic Redundancy Check) yang digunakan untuk memastikan integritas data yang dikirim sedangkan penerima menerima paket data,menghitung ulang nilai CRC berdasarkan data yang diterima, dan membandingkannya dengan nilai CRC yang dikirim oleh pemancar.Pengujian ini dilakukan pada tiga jarak berbeda yaitu 10 meter,30 meter sampai 50 meter, pada setiap jarak data dikirimkan dari pemancar ke penerima dan intergritas data diuji berdasarkan nilai CRC. CRC adalah Teknik deteksi error yang digunakan untuk memverifikasi integritas data yang ditransmisikan, setelah penerima menerima data dari pemancar penerima menghitung CRC untuk data yang diterima jika nilai CRC yang dhitung oleh penerima sesuai dengan nilai CRC yang dikirim oleh pemancar , maka data dianggap aman dan tidak terjadi kerusakan dan jika nilai CRC berbeda ini menandakan bahwa ada kerusakan atau error dalam paket data dan penerima akan memberikan pesan error di serial monitor seperti "CRC tidak cocok" output pengujian hasil dari setiap pengujian pada jarak tertentu akan dicatat dan ditambilkan di serial monitor melalui aplikasi Arduino IDE jika data diterima dengan benar dan CRC cocok,nilai yang sesuai akan ditampilkan jika terjadi kerusakan data , data tersebut akan dibuang dan tidak akan ditampilkan di serial monitor maupun website GCS. Proses pengujian ini

bertujuan untuk mengevaluasi keandalan dan keamanan data yang dikirim pada berbagai jarak dengan membandingkan hasil dari setiap jarak dapat ditentukan pada jarak mana data tetap aman dan pada jarak mana kemungkinan terjadi kerusakan yang lebih tinggi. Secara keseluruhan rancangan ini mengukur seberapa baik sistem dapat menjaga integritas data selama transmisi pada jarak yang berbeda dan CRC digunakan sebagai metode utama dalam deteksi error. Proses pengujian sistem secara keseluruhan dapat dilihat pada Gambar 6.



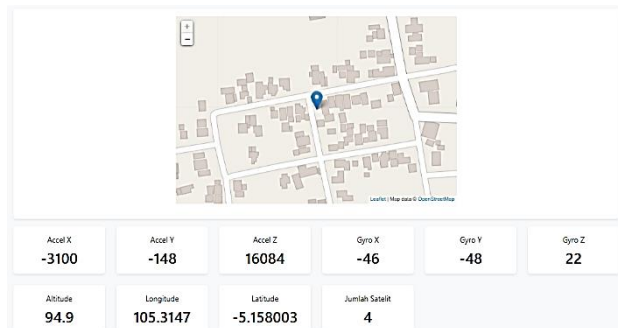
Gambar 6. Diagram alur keseluruhan system

2.3.3 Rancangan Desain dan Aplikasi GCS

Perancangan *User Interface* merupakan gambaran terhadap sistem yang akan di rancang yang bertujuan untuk memudahkan gambaran sistem dalam penyampaian konten informasi. Berikut desain *user interface* yang akan dibangun.

1. Rancangan Tampilan Dashboard

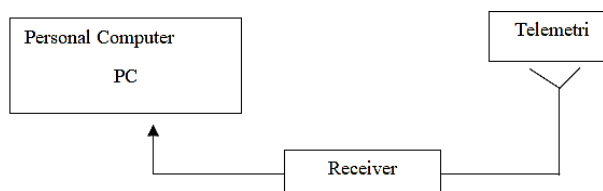
Rancangan tampilan dasbord merupakan rancangan yang akan dibangun untuk tampilan awal program. pada dashboard terdapat menu *dashboard* dan *Plan* yang berfungsi sebagai planing dari sistem auto pilot sebagai pembuatan titik plan yang akan dilakukan wahana pada saat sedang mode auto pilot,bentuk desainnya dapat di lihat pada gambar 7.



Gambar 7. Tampilan Dashboard

2. Diagram Block *Ground Control Station*

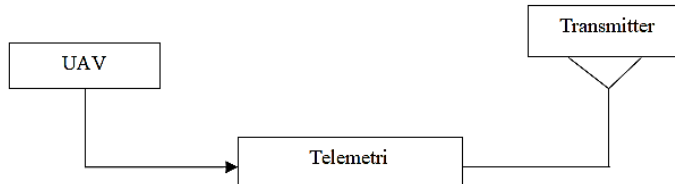
Pada GCS, komputer atau laptop di hubungkan dengan telemetri 2,4Ghz menggunakan USB, *Ground Control Station* berfungsi sebagai stasiun penerima data dari UAV.diagram GCS dapat diliat pada gambar 8.



Gambar 8. Diagram Block ground control station

3. Diagram Blok *Transmitter*

Pada bagian Pengirim , UAV di hubungkan dengan telemetri 2,4 Ghz sebagai pengirim data sensor yang akan diterima oleh GCS sebagai Receivernya, diagram transmitter dapat diliat pada gambar 9.



Gambar 9. Diagram blok transmitter

2.4 Perancangan Protokol Komunikasi

Rancangan tersebut

Tabel 1. Perancangan format data pengiriman

| Byte-0 | Byte- 1 | Byte-2 | Byte-3 | Byte-4 | Byte-5 | Byte-6 |
|--------|---------|--------|--------|--------|--------|--------|
| Header | Baterai | | Arus | | Suhu | |

Tabel 2. Perancangan format data pengiriman

| Byte -7 | Byte-8 | Byte-9 | Byte-10 | Byte-11 | Byte-12 |
|----------|--------|--------|-----------|---------|---------|
| Altitude | | | Longitude | | |

Tabel 3. Perancangan format data pengiriman

| Byte-13 | Byte-14 | Byte-15 | Byte-16 | Byte-17 | Byte-18 | Byte-19 | Byte-20 |
|----------|---------|---------|----------------|----------------|---------|---------|---------|
| Latitude | | | Jumlah Satelit | Status Satelit | | Gyro X | |

Tabel 4. Perancangan format data pengiriman

| Byte-21 | Byte-22 | Byte-23 | Byte-24 | Byte-25 | Byte-26 | Byte-27 | Byte-28 |
|---------|---------|---------|---------|------------|---------|------------|---------|
| Gyro Y | | Gyro Z | | Accelero X | | Accelero Y | |

Tabel 5. Perancangan format data pengiriman

| Byte- 29 | Byte- 30 | Byte- 31 | Byte- 32 | Byte- 33 | Byte- 34 | Byte- 35 | Byte- 36 | Byte- 37 | Byte- 38 |
|------------|----------|----------|----------|----------|----------|----------|----------|----------|----------|
| Accelero Z | | Yaw | | Pitch | | Roll | | Crc | |

3. HASIL DAN PEMBAHASAN

3.1 Penerapan

Pelaksanaan penelitian ini bertujuan untuk menguji keamanan transmisi data pada penerima. Sistem keamanan datanya menggunakan algoritma CRC sebagai pengujian keutuhan data yang dikirimkan oleh Pemancar yang nantinya nilai CRC tersebut digunakan sebagai validasi bahwa data yang dikirimkan sudah benar.

3.2 Langkah Pengujian

Pengujian dilakukan dengan mengirimkan data ke penerima dengan jarak 10 meter, 30 meter dan 50 meter secara langsung tanpa menggunakan algoritma apapun kemudian dilakukan pengujian kembali menggunakan algoritma CRC sebagai validasi data agar tetap aman.

3.3 Alat Pengujian

Peralatan yang digunakan dalam tes ini adalah:

1. Arduino Mega
2. sensor IMU
3. Modul Telemetri
4. Gps

3.4 Pengujian Sistem

Dalam hal ini pengujian bertujuan untuk mengetahui apakah fungsi dari perancangan ini sudah berjalan dengan baik. Tujuan dari pengujian ini juga berguna untuk memastikan alat pengujian berjalan dengan baik dan nantinya pada saat melakukan penelitian sistem dalam keadaan baik atau tidak ada kendala.

3.4.1 Pengujian Mikrokontroler Arduino Mega 2560

Pengujian mikrokontroler dilakukan karena bagian ini sangat penting karena mikrokontroler ini berfungsi sebagai pengontrol pengujian transmisi data sensor. Pengujian ini dilakukan dengan menghubungkan sensor yang nantinya dikirimkan ke mikrokontroler. Gambar pengujian mikrokontroler Arduino Mega 2560 dapat dilihat pada Gambar 10.



Gambar 10. Pengujian Mikrokontroler Arduino Mega 2560

3.4.2 Pengujian Sensor IMU

Pengujian sensor IMU yang beroperasi pada tegangan 3 – 5 volt yang bertujuan untuk mengetahui seberapa baik pembacaan sensor yang diterima dalam menentukan posisi sudut Gyro, Acclero, yaw, pitch, roll serta melihat hasil pengontrol yang dibaca oleh sensor pada monitor serial di aplikasi Arduino IDE. Gambar pengujian sensor IMU dapat dilihat pada Gambar 11.

A screenshot of the Arduino Serial Monitor window titled "COM3". The window displays a series of text lines representing sensor data. The data includes timestamped values for X, Y, and Z axes, along with Z-axis values for roll, pitch, and yaw. The text is as follows:

```
10:36:10.242 -> Z Value: -1
10:36:10.242 ->
10:36:10.755 -> X Value: 20
10:36:10.755 -> Y Value: 653
10:36:10.755 -> Z Value: 0
10:36:10.755 ->
10:36:11.271 -> X Value: 23
10:36:11.271 -> Y Value: 655
10:36:11.271 -> Z Value: 0
10:36:11.319 ->
10:36:11.805 -> X Value: 21
10:36:11.805 -> Y Value: 655
10:36:11.805 -> Z Value: 0
10:36:11.852 ->
10:36:12.369 -> X Value: 21
10:36:12.369 -> Y Value: 654
10:36:12.369 -> Z Value: 0
10:36:12.369 ->
10:36:12.891 -> X Value: 24
10:36:12.891 -> Y Value: 655
10:36:12.891 -> Z Value: 1
10:36:12.891 ->
```

Gambar 11. Menguji Sensor IMU

3.4.3 Pengujian Telemetri

Dalam pengujian ini telemetri yang digunakan jenis NRF24L01 yang beroperasi pada pita frekuensi 2,4 GHz. Modul ini mengirimkan data hingga beberapa ratus meter tergantung pada lingkungan dan penggunaan anterannya untuk konsumsi daya rendah modul ini dirancang untuk operasi dengan daya rendah, cocok untuk aplikasi dengan sumber daya terbatas seperti baterai untuk kecepatan tinggi modul ini dapat mentrasmisikan data dengan kecepatan hingga 2mbps, memungkinkan transfer data yang cepat dan efisien, modul ini memiliki multi channel yang mendukung hingga 126 channel komunikasi sehingga memungkinkan penggunaan beberapa modul tanpa saling mengganggu, telemetri berbasis NRF24L01 sering digunakan dalam proyek – proyek IoT, robotika dan sistem pemantauan jarak jauh karena keandalannya dan fleksibilitas dalam komunikasi nirkabel dan juga alasan selanjutnya karna harga yang cukup murah dan mudah di dapatkan. Pengujian telemetri yang beroperasi pada tegangan 3-5 volt yang bertujuan untuk mengetahui apakah perangkat telemetri berfungsi dengan baik dalam hal pengiriman dan penerimaan data guna membantu melakukan penelitian dalam mengamankan data yang dikirim dan diterima. Pengujian menggunakan Serial monitor sebagai viewer pada aplikasi Arduino IDE. Gambar pengujian telemetri dapat dilihat pada Gambar 12.

Gambar 12. Pengujian Telemetri

3.4.4 Pengujian GPS

Tes GPS ini beroperasi pada tegangan 3 volt untuk mengetahui apakah GPS berfungsi dengan baik dan normal dalam mengambil nilai ketinggian, garis bujur, garis lintang, jumlah satelit dan waktu pengujian ini menggunakan serial monitor sebagai penampil di dalamnya. Aplikasi Arduino IDE. Gambar pengujian dapat dilihat pada Gambar 13.

Gambar 13. Pengujian GPS

3.5 Hasil Pengujian

Data yang diambil merupakan data hasil pengujian pengiriman paket data dengan menggunakan algortima CRC sebagai keutuhan nilai yang di kirim dan pengujian pengiriman paket data dengan tidak menggunakan algoritma CRC untuk membandingkan fungsi utama penggunaan algoritma CRC. Dengan menggunakan CRC dalam transmisinya dapat memudahkan validasi dalam penerimaan data yang berguna untuk mengetahui apakah paket yang dikirim aman atau rusak hanya dengan mencocokkan nilai CRC yang di hasilkan oleh Pemancar dan yang merosot lagi oleh penerima. Kemudian di lakukan pengujian variasi jarak untuk mengukur seberapa jauh paket

data tetap aman, pengukuran jarak di lakukan pada jarak 10 meter, 30 meter dan 50 meter. Namun pada pengujian ini lamanya paket data yang di kirim hanya berjumlah 11 data dalam 1 paket karena di sesuaikan dengan alat yang di gunakan, dalam hal ini tidak mempengaruhi proses penelitian, karena tujuan penelitian ini adalah untuk mengetahui apakah data yang di kirim aman atau tidak dan tidak di dasarkan pada banyaknya panjang data yang di kirim. Berikut hasil dari penerima respon pada pengujian jarak di tampilkan pada gambar monitor serial untuk menunjukkan paket data yang di kirim tanpa CRC dan di kirim dengan memvalidasi nilai CRC di hasilkan.

3.5.1 Pengujian Dengan Jarak 10 Meter Tanpa CRC

Pengujian ini untuk melihat respon data apa dengan jarak 10 meter dengan 5 kali percobaan dan mengambil 10 data pertama yang diterima oleh penerima, dapat dilihat pada Tabel .

Tabel 6. Nilai Sensor Diterima Pada Jarak 10 Meter Tanpa CRC

| No | Pengujian | | | | | | | | | |
|----|-----------|---------|---------|--------|--------|--------|-----------|---------------|------------|----------|
| | Accel X | Accel Y | Accel Z | Gyro X | Gyro Y | Gyro Z | Altitud e | Longitud e | Latitude | Satelite |
| 1 | -3508 | 676 | 16148 | -42 | -61 | 23 | 70,6 | 1.053,14 5 | -5,157,813 | 4 |
| | -3192 | -76 | 16048 | -45 | -49 | 22 | 65,5 | 105,3145 | -5,157989 | 8 |
| | -3076 | -96 | 16152 | -48 | -47 | 26 | 64,8 | 105,3145 | -5,15798 | 8 |
| | -3040 | -76 | 16152 | -46 | -49 | 25 | 64,8 | 105,3145 | -5,157996 | 7 |
| | -3032 | -128 | 16212 | -46 | -46 | 20 | 66 | 105,3145 | -5,157996 | 8 |
| | -3032 | -120 | 16036 | -45 | -50 | 22 | 67,1 | 105,3146 | -5,157997 | 7 |
| | -3008 | -108 | 16260 | -45 | -48 | 20 | 72,6 | 105,3146 | -5,158011 | 8 |
| | -3008 | -112 | 16072 | -43 | -47 | 20 | 76,2 | 105,3146 | -5,158023 | 8 |
| | -3052 | -164 | 16040 | -47 | -52 | 21 | 77,8 | 105,3146 | -5,158028 | 8 |
| | -3104 | -180 | 16200 | -49 | -46 | 22 | 79,9 | 105,3146 | -5,158033 | 8 |
| 2 | -2996 | -148 | 16052 | -44 | -47 | 21 | 81 | 105,3146 | -5,158032 | 8 |
| | -3076 | -68 | 16152 | -45 | -47 | 21 | 81,6 | 105,3146 | -5,15803 | 7 |
| | -3112 | -188 | 16112 | -46 | -45 | 21 | 79,5 | 105,3146 | -5,158024 | 7 |
| | -3072 | -200 | 16012 | -45 | -48 | 21 | 77 | 105,3146 | -5,15802 | 7 |
| | -3060 | -100 | 16036 | -43 | -45 | 21 | 75,4 | 105,3146 | -5,158019 | 7 |
| | -3056 | -144 | 16036 | -44 | -49 | 21 | 79,5 | 105,3146 | -5,158023 | 8 |
| | -2992 | -192 | 16116 | -44 | -49 | 24 | 75,9 | 105,3146 | -5,15803 | 8 |
| | -3044 | -96 | 16152 | -48 | -48 | 15 | 76,5 | 105,3146 | -5,158034 | 8 |
| | -3060 | -224 | 16032 | -45 | -50 | 19 | 77,7 | 105,3146 | -5,158033 | 8 |
| | -3028 | -168 | 16180 | -44 | -50 | 17 | 78,6 | 105,3146 | -5,158029 | 8 |
| 3 | -3080 | -160 | 16164 | -46 | -50 | 22 | 78,5 | 105,3146 | -5,158026 | 7 |
| | -3128 | -132 | 16136 | -43 | -47 | 22 | 77,8 | 105,3146 | -5,158025 | 8 |
| | -3112 | -112 | 16088 | -44 | -46 | 23 | 78,2 | 105,3146 | -5,158025 | 8 |
| | -3168 | -132 | 16184 | -46 | -46 | 19 | 74,4 | 105,3146 | -5,158016 | 8 |
| | -2892 | -112 | 16096 | -45 | -48 | 22 | 72,7 | 105,3146 | -5,15801 | 8 |
| | -3000 | -212 | 16120 | -44 | -47 | 19 | 72,1 | 105,3146 | -5,158006 | 8 |
| | -3068 | -240 | 16180 | -47 | -45 | 26 | 70,2 | 105,3146 | -5,15803 | 7 |
| | -3136 | -136 | 15988 | -46 | -44 | 21 | 68,5 | 105,3146 | -5,158001 | 7 |
| | -3024 | -76 | 16132 | -45 | -47 | 16 | 66,1 | 105,3146 | -5,157993 | 6 |
| | -3304 | -148 | 16120 | -46 | -50 | 19 | 65,9 | 105,3145 | -5,157981 | 7 |
| 4 | -3336 | -60 | 16124 | -46 | -49 | 21 | 65,9 | 105,3145 | -5,157982 | 7 |
| | -3264 | -184 | 16112 | -46 | -48 | 20 | 68,4 | 105,3145 | -5,157982 | 7 |
| | -3332 | -148 | 16020 | -47 | -48 | 22 | 69,1 | 105,3145 | -5,157978 | 7 |
| | -3260 | -100 | 16072 | -47 | -46 | 23 | 69,7 | 105,3145 | -5,157977 | 7 |
| | -3260 | -136 | 16088 | -45 | -50 | 19 | 70,2 | 105,3145 | -5,157977 | 8 |
| | -3208 | -216 | 16128 | -45 | -48 | 20 | 70,2 | 105,3145 | -5,157977 | 8 |
| | -3292 | -160 | 16060 | -46 | -48 | 20 | 70,1 | 105,3145 | -5,157981 | 8 |
| | -3280 | -132 | 15972 | -43 | -48 | 21 | 70,7 | 105,3145 | -5,157967 | 8 |
| | -3292 | -104 | 16180 | -46 | -47 | 21 | 65,3 | 105,3145 | -5,15795 | 9 |
| | -3240 | -88 | 15992 | -47 | -50 | 25 | 65,2 | 105,3145 | -5,15795 | 9 |

Pada tabel 6 Merupakan hasil penerima dalam menerima nilai paket pada jarak 10 meter bahwa pada jarak tersebut penerima masih dapat menerima paket yang di kirimkan oleh pihak tersebut. Pemancar namun ada beberapa nilai data yang rusak atau tidak lengkap dapat dilihat pada tabel 3.1 nilai ketinggian dan bujur yang

ditandai ada nilai yang kurang sebagai contoh seharusnya panjang 8 karakter namun yang dikirimkan hanya sepanjang 7 karakter kedua pengujian bagian 1 hingga 5 memiliki paket data yang rusak atau tidak lengkap.

3.5.2 Pengujian dengan jarak 10 meter menggunakan CRC

Pengujian ini untuk melihat respon data yang muncul pada serial monitor apakah masih aman menggunakan algoritma CRC dan paket data tidak rusak dengan jarak 10 meter, dapat dilihat pada tabel 7

Tabel 7. Nilai Sensor Di Terima Pada Jarak 10 Meter Dengan CRC

| No | Pengujian | | | | | | | | | | |
|----|-----------|---------|---------|--------|--------|--------|----------|-----------|-----------|-----|-------|
| | Accel X | Accel Y | Accel Z | Gyro X | Gyro Y | Gyro Z | Altitude | Longitude | Latitude | Sat | CRC |
| 1 | -3052 | -88 | 16200 | -45 | -48 | 21 | 88.2 | 1.053.145 | 5.157.991 | 5 | 18045 |
| | -3088 | -192 | 16324 | -46 | -47 | 22 | 88.5 | 1.053.145 | 5.157.992 | 5 | 35182 |
| | -3016 | -180 | 16004 | -45 | -47 | 14 | 89.2 | 1.053.145 | 5.157.992 | 5 | 10620 |
| | -2992 | -144 | 16264 | -44 | -48 | 20 | 88.7 | 1.053.145 | 5.157.991 | 5 | 52417 |
| | -3012 | -136 | 16080 | -46 | -46 | 28 | 87.3 | 1.053.145 | 5.157.989 | 5 | 64516 |
| | -3104 | -208 | 16128 | -48 | -46 | 26 | 85.4 | 1.053.145 | 5.157.989 | 5 | 24714 |
| | -3104 | -208 | 16200 | -46 | -47 | 18 | 83.7 | 1.053.145 | 5.157.984 | 5 | 31689 |
| | -3052 | -128 | 16096 | -48 | -47 | 21 | 82.3 | 1.053.146 | 5.175.798 | 5 | 17893 |
| | -3032 | -244 | 16152 | -46 | -47 | 24 | 81.8 | 1.053.146 | 5.157.977 | 5 | 57281 |
| | -3020 | -188 | 16064 | -45 | -46 | 18 | 77.2 | 1.053.146 | 5.157.976 | 5 | 50080 |
| 2 | -3020 | -232 | 16084 | -49 | -47 | 16 | 77.2 | 1.053.146 | 5.157.976 | 3 | 28548 |
| | -3052 | -164 | 16080 | -49 | -49 | 18 | 67.5 | 1.053.146 | 5.157.976 | 4 | 39077 |
| | -3060 | -128 | 16236 | -42 | -47 | 16 | 77.2 | 1.053.146 | 5.157.976 | 3 | 35171 |
| | -3136 | -108 | 16052 | -49 | -48 | 22 | 1284.9 | 1.053.049 | 5.160.001 | 4 | 11049 |
| | -3132 | -148 | 16104 | -46 | -48 | 19 | 1433.5 | 1.053.035 | 5.160.258 | 3 | 60621 |
| | -3124 | -84 | 16168 | -45 | -48 | 22 | 1426.7 | 1.053.035 | 5.160.258 | 0 | 31567 |
| | -3168 | -164 | 16040 | -48 | -48 | 23 | 1426.7 | 1.053.035 | 5.160.258 | 4 | 58709 |
| | -3176 | -280 | 16112 | -42 | -46 | 23 | 1426.7 | 1.053.035 | 5.160.258 | 3 | 21544 |
| | -3080 | -184 | 16200 | -46 | -45 | 22 | 1426.7 | 1.053.035 | 5.160.258 | 3 | 30012 |
| | -3080 | -184 | 16080 | -49 | -45 | 23 | 1426.7 | 1.053.035 | 5.160.258 | 3 | 30485 |
| 3 | -2708 | 440 | 16204 | -45 | -49 | 18 | 74.4 | 1.053.145 | 5.157.843 | 7 | 24757 |
| | -2948 | 428 | 16140 | -44 | -50 | 21 | 73.2 | 1.053.145 | 5.157.844 | 8 | 23989 |
| | -2844 | 448 | 16044 | -42 | -50 | 18 | 71.2 | 1.053.145 | 5.157.841 | 8 | 21939 |
| | -2892 | 388 | 16232 | -44 | -50 | 22 | 69.9 | 1.053.145 | 5.157.841 | 7 | 19632 |
| | -2892 | 388 | 16232 | -44 | -50 | 22 | 69.9 | 1.053.145 | 5.157.841 | 7 | 19632 |

| No | Pengujian | | | | | | | | | | |
|----|-----------|---------|---------|--------|--------|--------|----------|-----------|-----------|-----|-------|
| | Accel X | Accel Y | Accel Z | Gyro X | Gyro Y | Gyro Z | Altitude | Longitude | Latitude | Sat | CRC |
| 4 | -2864 | 344 | 16072 | -45 | -54 | 21 | 68.2 | 1.053.145 | 5.157.839 | 9 | 19121 |
| | -2788 | 388 | 16096 | -45 | -50 | 22 | 67.4 | 1.053.145 | 5.157.842 | 9 | 18096 |
| | -2856 | 348 | 16196 | -45 | -48 | 18 | 66.5 | 1.053.145 | 5.157.843 | 9 | 17071 |
| | -2764 | 332 | 16244 | -46 | -53 | 23 | 65.3 | 1.053.145 | 5.157.839 | 9 | 16046 |
| | -2856 | 348 | 16196 | -45 | -48 | 18 | 66.5 | 1.053.145 | 5.157.843 | 9 | 17071 |
| | -2892 | 340 | 16176 | -46 | -50 | 25 | 64.9 | 1.053.145 | 5.157.845 | 9 | 15021 |
| | -3972 | 3200 | 16256 | 695 | -528 | -660 | 65.5 | 1.053.145 | 5.157.845 | 9 | 16046 |
| | -2856 | 348 | 16196 | -45 | -48 | 18 | 66.5 | 1.053.145 | 5.157.843 | 9 | 17071 |
| | -6888 | 972 | 14812 | -114 | -57 | -4 | 68.4 | 1.053.145 | 5.157.845 | 9 | 19121 |
| | -6888 | 972 | 14812 | -114 | -57 | -4 | 68.4 | 1.053.145 | 5.157.843 | 9 | 19121 |
| | -6888 | 972 | 14812 | -114 | -57 | -4 | 68.4 | 1.053.145 | 5.157.843 | 9 | 19121 |
| | -3168 | -84 | 16056 | -45 | -50 | 24 | 73.8 | 1.053.145 | 5.157.997 | 8 | 23218 |
| | -3060 | -64 | 16040 | -46 | -49 | 23 | 75.6 | 1.053.145 | 5.157.995 | 8 | 25268 |
| | -3040 | -128 | 16160 | -45 | 51 | 19 | 77.1 | 1.053.145 | 5.157.987 | 9 | 27318 |
| | -3064 | -100 | 16104 | -46 | -48 | 20 | 80.1 | 1.053.145 | 5.157.982 | 9 | 30393 |
| | -3108 | -116 | 15956 | -45 | -50 | 22 | 82.5 | 1.053.145 | 5.157.981 | 9 | 32443 |

Pada tabel 7 adalah hasil dari *penerima* dalam menerima nilai paket pada jarak 10 meter yang pada jarak tersebut paket masih aman dan tidak ada paket yang rusak. Dari 5 kali percobaan masih tidak ada yang rusak atau kurang lengkap datanya terlihat dari CRC yang dibuat dan yang dikirim sama dan hal ini dapat membuktikan bahwa paket benar-benar aman pada saat diterima selama perjalanan. karakter yang dikirim juga sama.

3.5.3 Pengujian Dengan Jarak 30 Meter Tanpa CRC

Pengujian ini untuk melihat respon data yang muncul pada monitor serial apakah masih aman dan muncul pada monitor serial dengan jarak 30 meter, dapat di lihat pada Tabel 8.

Tabel 8. Nilai Sensor Diterima Pada Jarak 30 Meter Tanpa CRC

| No | Pengujian | | | | | | | | | |
|----|-----------|---------|---------|--------|--------|--------|----------|-----------|-----------|-----|
| | Accel X | Accel Y | Accel Z | Gyro X | Gyro Y | Gyro Z | Altitude | Longitude | Latitude | Sat |
| 1 | -3284 | -176 | 16032 | -41 | -47 | 64,7 | 64,7 | 105,3145 | -5,157949 | 9 |
| | -3364 | -176 | 16072 | -43 | -48 | 18 | 63,7 | 105,3145 | -5,157959 | 9 |
| | -3308 | -168 | 16308 | -47 | -48 | 21 | 63,8 | 105,3145 | -5,157948 | 8 |
| | -3280 | -144 | 16056 | -46 | -49 | 24 | 64,4 | 105,3145 | -5,157954 | 6 |
| | -3008 | -108 | 16174 | -43 | -51 | 27 | 60,3 | 105,3145 | -5,157954 | 7 |
| | -3020 | -156 | 16072 | -45 | -51 | 21 | 58,5 | 105,3145 | -5,157949 | 7 |
| | -3028 | -148 | 16228 | -45 | -50 | 17 | 58,5 | 105,3145 | -5,157949 | 8 |
| | -3080 | -256 | 16228 | -43 | -49 | 26 | 59,1 | 105,3145 | -5,157952 | 8 |
| | -3420 | 68 | 15996 | -44 | -51 | 21 | 64,9 | 105,3145 | -5,158092 | 8 |
| | -3296 | 56 | 16080 | -45 | -50 | 22 | 55,5 | 105,3146 | -5,158072 | 7 |
| 2 | -3020 | 64 | 15928 | -47 | -49 | 24 | 49,4 | 105,3146 | -5,15809 | 7 |
| | -3444 | 68 | 16244 | -45 | -51 | 19 | 46 | 105,3146 | -5,158113 | 8 |
| | -3396 | 72 | 16108 | -44 | -52 | 20 | 44,5 | 105,3146 | -5,158141 | 8 |

| No | Pengujian | | | | | | | | | |
|----|-----------|---------|---------|--------|--------|--------|----------|-----------|-----------|-----|
| | Accel X | Accel Y | Accel Z | Gyro X | Gyro Y | Gyro Z | Altitude | Longitude | Latitude | Sat |
| 3 | -3460 | -148 | 16132 | -44 | -51 | 24 | 42,5 | 105,3147 | -5,158148 | 7 |
| | -3336 | 104 | 16140 | -43 | -48 | 27 | 43,6 | 105,3146 | -5,158129 | 9 |
| | -2576 | -1280 | 16212 | -46 | -47 | 19 | 74,1 | 105,3145 | -5,157835 | 12 |
| | -3400 | -244 | 16060 | -45 | -45 | 25 | 75,2 | 105,3145 | -5,157892 | 12 |
| | -3404 | -40 | 16044 | -45 | -47 | 19 | 75,2 | 105,3145 | 5,157893 | 12 |
| | -3328 | -40 | 16020 | -47 | -51 | 22 | 75 | 105,3145 | -5,157894 | 12 |
| | -3256 | -56 | 16016 | -46 | -48 | 21 | 74,7 | 105,3145 | 5,157897 | 12 |
| | -3344 | -56 | 16016 | -46 | -48 | 24 | 74,7 | 105,3145 | -5,157899 | 12 |
| | -3324 | -72 | 16140 | -45 | -40 | 21 | 74,4 | 105,3145 | -5,157901 | 12 |
| | -3320 | -164 | 15960 | -45 | -52 | 22 | 74,43 | 105,3145 | -5,157903 | 12 |
| | -3336 | 44 | 15992 | -49 | -25 | 23 | 74 | 105,7905 | -5,157903 | 12 |
| | -3304 | -120 | 15940 | -46 | -51 | 23 | 73,9 | 105,3145 | -5,157903 | 12 |
| | -3352 | -84 | 15972 | -49 | -52 | 21 | 73,9 | 105,3145 | -5,157903 | 12 |
| | -3264 | -132 | 16112 | -47 | -52 | 19 | 73,8 | 105,3145 | -5,157902 | 12 |
| | -3272 | -84 | 16024 | -43 | -48 | 19 | 73,7 | 105,3145 | -5,157902 | 12 |
| | -3388 | -60 | 16008 | -45 | -49 | 19 | 73,2 | 105,3145 | -5,157906 | 12 |
| | -3304 | -68 | 16064 | -46 | -48 | 21 | 72,9 | 105,3145 | -5,157906 | 12 |
| | -3296 | -148 | 16060 | -47 | -50 | 23 | 72,8 | 105,3145 | -5,157907 | 12 |

Pada tabel 8 merupakan hasil pembacaan paket yang di terima *receiver* pada jarak 30 meter, dalam jarak 30 meter paket tersebut menampilkan nilai pada serial monitor dan terdapat beberapa paket yang rusak serta jumlah data nilai yang rusak tidak lebih banyak dari pengiriman pada jarak 10 meter data rusak karena panjang nilai data tidak sesuai dengan yang dikirimkan serta kerusakan pada percobaan pada jarak 10 meter.

3.5.4 Pengujian Dengan Jarak 30 Meter Menggunakan CRC

Pengujian ini mengirimkan paket data pada jarak 30 meter menggunakan algoritma CRC pada jarak agak jauh apakah data yang di kirimkan masih aman dapat di lihat pada Tabel 9

Tabel 9. Nilai Sensor Diterima Pada Jarak 30 Meter Dengan CRC

| No | Pengujian | | | | | | | | | | |
|----|-----------|---------|---------|--------|--------|--------|----------|-----------|-----------|-----|-------|
| | Accel X | Accel Y | Accel Z | Gyro X | Gyro Y | Gyro Z | Altitude | Longitude | Latitude | Sat | CRC |
| 1 | -3416 | 56 | 15996 | -45 | -50 | 21 | 74,2 | 1.053.145 | 5.157.915 | 8 | 54728 |
| | -3460 | 76 | 16096 | -47 | -49 | 22 | 70,9 | 1.053.145 | 5.157.941 | 8 | 45584 |
| | -3324 | 144 | 16208 | -47 | -49 | 25 | 72,3 | 1.053.145 | 5.157.925 | 8 | 25169 |
| | -3396 | 72 | 16064 | -46 | -51 | 28 | 72,2 | 1.053.145 | 5.157.925 | 8 | 29235 |
| | -3332 | 72 | 16060 | -46 | -48 | 25 | 72,3 | 1.053.145 | 5.157.922 | 8 | 12655 |
| | -3388 | 108 | 15992 | -46 | -49 | 23 | 72,1 | 1.053.145 | 5.157.928 | 9 | 32788 |
| | -3388 | 64 | 16000 | -44 | -47 | 25 | 71,1 | 1.053.145 | 5.157.937 | 7 | 17653 |
| | -3460 | 76 | 16096 | -47 | -49 | 22 | 70,9 | 1.053.145 | 5.157.941 | 8 | 45584 |
| | -3472 | 52 | 16084 | -44 | -49 | 24 | 70,8 | 1.053.145 | 5.157.946 | 9 | 29670 |
| | -3468 | 108 | 16024 | -46 | -49 | 23 | 70,2 | 1.053.145 | 5.157.946 | 8 | 41955 |
| 2 | -3320 | 116 | 16108 | -45 | -51 | 24 | 70,4 | 1.053.145 | 5.157.951 | 8 | 48338 |
| | -3380 | 92 | 16204 | -45 | -52 | 21 | 70,1 | 1.053.145 | 5.157.963 | 7 | 48409 |
| | -3316 | 88 | 16168 | -46 | -50 | 23 | 69,3 | 1.053.145 | 5.157.969 | 8 | 48628 |
| | -3408 | 80 | 16112 | -46 | -51 | 22 | 68,6 | 1.053.145 | 5.157.964 | 8 | 20053 |
| | -3352 | 116 | 15972 | -43 | -51 | 20 | 68,3 | 1.053.145 | 5.157.972 | 7 | 46373 |

| No | Pengujian | | | | | | | | | | |
|----|-----------|---------|---------|--------|--------|--------|----------|-----------|-----------|-----|-------|
| | Accel X | Accel Y | Accel Z | Gyro X | Gyro Y | Gyro Z | Altitude | Longitude | Latitude | Sat | CRC |
| | -3388 | 104 | 16112 | -47 | -52 | 23 | 68.1 | 1.053.145 | 5.157.975 | 6 | 42366 |
| | -3436 | 80 | 16060 | -48 | -50 | 17 | 68.9 | 1.053.144 | 5.157.974 | 7 | 42238 |
| | -3352 | 140 | 16008 | -47 | -48 | 21 | 72.1 | 1.053.144 | 5.157.965 | 8 | 13158 |
| | -3464 | 140 | 16248 | -46 | -51 | 21 | 78.1 | 1.053.144 | 5.157.951 | 8 | 11770 |
| | -3332 | 156 | 15992 | -47 | -49 | 24 | 76.4 | 1.053.144 | 5.157.953 | 6 | 41086 |
| | -3476 | -8 | 16200 | -44 | -50 | 24 | 73.9 | 1.053.144 | 5.157.965 | 7 | 28186 |
| | -3452 | 44 | 16168 | -42 | -50 | 22 | 71.8 | 1.053.144 | 5.157.969 | 8 | 62789 |
| | -3168 | -236 | 16088 | -46 | -52 | 24 | 71.5 | 1.053.146 | 5.157.979 | 8 | 21168 |
| | -3112 | -36 | 16068 | -45 | -48 | 21 | 70.5 | 1.053.146 | 5.157.978 | 9 | 20143 |
| | -3100 | -100 | 15924 | -44 | -50 | 21 | 68.5 | 1.053.146 | 5.157.973 | 8 | 18093 |
| 3 | -3124 | -128 | 16000 | -45 | -50 | 21 | 66.9 | 1.053.146 | 5.157.972 | 8 | 16043 |
| | -3116 | -128 | 16024 | -42 | -52 | 26 | 64.8 | 1.053.146 | 5.157.976 | 7 | 13993 |
| | -3176 | -224 | 16236 | -47 | -52 | 30 | 62.2 | 1.053.146 | 5.157.951 | 5 | 11943 |
| | -3164 | -144 | 16016 | -47 | -49 | 19 | 59.9 | 1.053.147 | 5.157.969 | 7 | 8868 |
| | -3184 | -144 | 16028 | -47 | -51 | 17 | 58.8 | 1.053.147 | 5.157.983 | 6 | 7843 |
| | -3108 | -128 | 16104 | -46 | -52 | 26 | 57.1 | 1.053.147 | 5.157.982 | 9 | 6818 |
| | -3052 | -180 | 16044 | -48 | -47 | 21 | 56.7 | 1.053.146 | 5.157.985 | 9 | 5793 |
| | -3108 | -128 | 16104 | -46 | -52 | 26 | 57.1 | 1.053.147 | 5.157.982 | 9 | 6818 |
| | -3140 | -160 | 16128 | -46 | -51 | 23 | 58.9 | 1.053.146 | 5.157.988 | 9 | 7843 |
| | -3080 | -112 | 16080 | -47 | -52 | 24 | 59.6 | 1.053.146 | 5.157.984 | 9 | 8868 |
| 4 | -3068 | -128 | 16064 | -45 | -52 | 22 | 60.5 | 1.053.146 | 5.157.983 | 9 | 9893 |
| | -3068 | -84 | 16048 | -45 | -50 | 24 | 61.2 | 1.053.146 | 5.157.982 | 8 | 10918 |
| | -3060 | -64 | 16040 | -46 | -49 | 23 | 75.6 | 1.053.145 | 5.157.995 | 8 | 25268 |
| | -3040 | -128 | 16160 | -45 | 51 | 19 | 77.1 | 1.053.145 | 5.157.987 | 9 | 27318 |
| | -3064 | -100 | 16104 | -46 | -48 | 20 | 80.1 | 1.053.145 | 5.157.982 | 9 | 30393 |
| | -3108 | -116 | 15956 | -45 | -50 | 22 | 82.5 | 1.053.145 | 5.157.981 | 9 | 32443 |

Pada tabel 9 merupakan hasil penerimaan paket data yang dikirim dan ditampilkan pada monitor serial dalam jarak 30 meter, pengiriman data masih aman dan tidak ada paket data yang rusak dari segi panjang karakternya juga masih sesuai dengan yang dikirimkan oleh *pemancar*.

3.5.5 Pengujian Dengan Jarak 50 Meter Tanpa CRC

Dalam tes ini pemancar mengirimkan pada jarak 50 meter tanpa menggunakan algoritma CRC dengan 5 kali percobaan dan di ambil 10 paket data pertama. dapat di lihat dari Tabel 10.

Tabel 10. Nilai Sensor Diterima Pada Jarak 50 Meter Tanpa CRC

| No | Pengujian | | | | | | | | | |
|----|-----------|---------|---------|--------|--------|--------|----------|-----------|-----------|-----|
| | Accel X | Accel Y | Accel Z | Gyro X | Gyro Y | Gyro Z | Altitude | Longitude | Latitude | Sat |
| 1 | -3048 | -128 | 16076 | -44 | -47 | 21 | 71,3 | 105,3145 | -5,157974 | 10 |
| | -3208 | -200 | 16040 | -50 | -45 | 21 | 70,2 | 105,3145 | -5,157998 | 10 |
| | -3064 | -196 | 16052 | -42 | -45 | 23 | 70,4 | 105,3145 | -5,157986 | 10 |
| | -3204 | -76 | 16360 | -42 | -48 | 28 | 70,5 | 105,3145 | -5,15798 | 12 |
| | -3080 | -248 | 16068 | -46 | -47 | 19 | 70,4 | 105,3145 | -5,157989 | 11 |
| | -3000 | -200 | 16144 | -47 | -46 | 21 | 70,1 | 105,3145 | -5,157992 | 11 |
| | -3184 | -128 | 15956 | -45 | -47 | 25 | 72,8 | 105,3145 | -5,157978 | 12 |
| | -3048 | -152 | 16048 | -45 | -47 | 27 | 75 | 105,3145 | -5,157967 | 11 |
| | -3124 | -240 | 16084 | -44 | -49 | 25 | 76,2 | 105,3145 | -5,157961 | 12 |
| | -3276 | -288 | 16344 | -41 | -50 | 20 | 75,4 | 105,3145 | -5,157965 | 11 |
| 2 | -3100 | -4 | 16196 | -46 | -47 | 23 | 75,6 | 105,3145 | -5,157964 | 11 |
| | -3164 | -264 | 16120 | -47 | -47 | 24 | 75,9 | 105,3145 | -5,157965 | 12 |
| | -3064 | 4 | 16064 | -44 | -44 | 21 | 75,6 | 105,3145 | -5,157967 | 11 |
| | -3160 | -152 | 16024 | -48 | -48 | 24 | 73,9 | 105,3145 | -5,15797 | 11 |
| | -301 | -72 | 15920 | -49 | -45 | 16 | 73,3 | 105,3146 | -5,157969 | 11 |
| | -3132 | -148 | 1616 | -45 | -46 | 17 | 72,9 | 105,3146 | -5,157968 | 11 |
| | -3124 | -96 | 1612 | -49 | -46 | 22 | 73,2 | 105,3145 | -5,157968 | 10 |
| | -3124 | -196 | 16240 | -45 | -42 | 20 | 73,5 | 105,3145 | -5,157967 | 10 |
| | -3172 | -140 | 16128 | -49 | -48 | 25 | 73,9 | 105,3145 | -5,157965 | 11 |
| | -3156 | -216 | 16068 | -42 | -47 | 20 | 74 | 105,3145 | -5,157959 | 12 |
| 3 | -3172 | -188 | 16080 | -47 | -45 | 20 | 74,7 | 105,3145 | -5,15795 | 12 |
| | -3128 | -168 | 16072 | -49 | -45 | 24 | 75,9 | 105,3145 | -5,157943 | 12 |
| | -3136 | -160 | 16156 | -44 | -48 | 22 | 76 | 105,3145 | -5,157938 | 12 |
| | -2992 | -328 | 15920 | -48 | -46 | 25 | 75,8 | 105,3145 | -5,157938 | 12 |
| | -3088 | -152 | 16120 | -43 | -47 | 24 | 76 | 105,3145 | -5,157935 | 11 |
| | -3208 | -120 | 16192 | -45 | -47 | 21 | 75,3 | 105,3145 | -5,157937 | 12 |
| | -3104 | -376 | 16220 | -43 | -48 | 22 | 75,1 | 105,3145 | -5,157937 | 10 |
| | -3144 | -204 | 16104 | -45 | -46 | 25 | 74,5 | 105,3145 | -5,157944 | 11 |
| | -3072 | -208 | 16184 | -47 | -48 | 18 | 71,9 | 105,3145 | -5,157963 | 12 |
| | -3176 | -196 | 15988 | -48 | -45 | 27 | 68,6 | 105,3145 | -5,15798 | 12 |
| 4 | -2384 | -860 | 16352 | -41 | -62 | 26 | 74,4 | 105,3144 | -5,157784 | 11 |
| | -2488 | -812 | 16336 | -44 | -58 | 25 | 74,6 | 105,3144 | -5,157784 | 11 |
| | -2372 | -872 | 16360 | -44 | -57 | 27 | 74,6 | 105,3144 | -5,157784 | 12 |
| | -2352 | -808 | 16404 | -43 | -60 | 21 | 74,7 | 105,3144 | -5,157785 | 12 |
| | -2420 | -920 | 16472 | -42 | -59 | 21 | 74,7 | 105,3144 | -5,157785 | 12 |
| | -2416 | -780 | 16388 | -45 | -59 | 22 | 75 | 105,3144 | -5,15778 | 12 |
| | -2408 | -772 | 1630 | -41 | -61 | 24 | 75,1 | 105,3144 | -5,157784 | 12 |
| | -2452 | -728 | 16492 | -46 | -59 | 20 | 75,3 | 105,3144 | -5,157784 | 12 |
| | -2396 | -892 | 16176 | -38 | -63 | 22 | 75,4 | 105,3144 | -5,157784 | 12 |
| | -2352 | -664 | 16452 | -54 | -55 | 23 | 76 | 105,3144 | -5,157788 | 12 |
| | -2428 | -796 | 16316 | -42 | -63 | 24 | 75,6 | 105,3144 | -5,15778 | 12 |

Pada tabel 10 terlihat bahwa hasil pengiriman masih terdapat beberapa nilai data yang rusak atau tidak lengkap dan kerusakan paling banyak terdapat pada jarak 50 meter dibandingkan jarak sebelumnya.

3.5.6 Pengujian Dengan Jarak 50 Meter Menggunakan CRC

Pada pengujian pada jarak 50 meter ini akan di uji pengiriman paket data menggunakan algoritma CRC, di uji sebanyak 5 kali dan diambil 10 paket data pertama. Dapat di lihat pada Tabel 11.

Tabel 11. Nilai Sensor Diterima Pada Jarak 50 Meter Dengan CRC

| No | Pengujian | | | | | | | | | | |
|----|-----------|---------|---------|--------|--------|--------|----------|-----------|----------|-----|-------|
| | Accel X | Accel Y | Accel Z | Gyro X | Gyro Y | Gyro Z | Altitude | Longitude | Latitude | Sat | CRC |
| 1 | -3080 | -124 | 16024 | -47 | -46 | 26 | 101.5 | 1.053.145 | - | 8 | 41890 |

| No | Pengujian | | | | | | | | | | |
|----|-----------|---------|---------|--------|--------|--------|----------|-----------|-----------|-----|-------|
| | Accel X | Accel Y | Accel Z | Gyro X | Gyro Y | Gyro Z | Altitude | Longitude | Latitude | Sat | CRC |
| | | | | | | | | | 5.157.982 | | |
| | -3084 | -244 | 15920 | -48 | -47 | 22 | 68.3 | 1.053.145 | 5.157.982 | 11 | 61338 |
| | -3060 | -92 | 15932 | -49 | -44 | 21 | 63.4 | 1.053.145 | 5.157.999 | 9 | 14416 |
| | -3172 | -68 | 16096 | -42 | -49 | 18 | 60.4 | 1.053.145 | 5.158.005 | 10 | 43673 |
| | -3156 | -204 | 16104 | -46 | -46 | 21 | 60.7 | 1.053.145 | 5.158.005 | 10 | 54571 |
| | -3068 | -152 | 16092 | -47 | -48 | 21 | 57.6 | 1.053.145 | 5.158.023 | 10 | 2981 |
| | -3296 | -148 | 16504 | -39 | -51 | 21 | 55.5 | 1.053.145 | 5.158.033 | 9 | 4196 |
| | -3072 | -24 | 15952 | -46 | -47 | 17 | 65.4 | 1.053.145 | 5.157.987 | 8 | 47002 |
| | -3128 | -160 | 16052 | -47 | -47 | 23 | 74.2 | 1.053.145 | 5.157.944 | 8 | 51275 |
| | -3196 | -180 | 16184 | -47 | -46 | 26 | 98.6 | 1.053.145 | 5.157.825 | 8 | 22931 |
| | -3080 | -124 | 16024 | -47 | -46 | 26 | 101.5 | 1.053.145 | 5.157.944 | 8 | 41890 |
| | -3084 | -244 | 15920 | -48 | -47 | 22 | 68.3 | 1.053.145 | 5.157.982 | 11 | 61338 |
| | -3152 | -172 | 16100 | -46 | -47 | 20 | 42.5 | 1.053.145 | 5.158.123 | 11 | 26424 |
| | -3148 | -168 | 16096 | -46 | -47 | 21 | 45.3 | 1.053.145 | 5.158.107 | 11 | 39232 |
| | -3264 | -344 | 16100 | -51 | -41 | 25 | 47.9 | 1.053.145 | 5.158.094 | 11 | 1319 |
| 2 | -3044 | -244 | 16140 | -47 | -45 | 21 | 55.7 | 1.053.145 | 5.158.041 | 11 | 52627 |
| | -3088 | -164 | 16312 | -47 | -44 | 19 | 62.4 | 1.053.145 | 5.158.015 | 11 | 55401 |
| | -3068 | -224 | 16084 | -46 | -49 | 18 | 66.5 | 1.053.145 | 5.157.994 | 11 | 51548 |
| | -3000 | -220 | 15972 | -47 | -47 | 23 | 73.3 | 1.053.145 | 5.157.959 | 11 | 35649 |
| | -2980 | -120 | 15840 | -51 | -41 | 22 | 74.3 | 1.053.145 | 5.157.955 | 11 | 5943 |
| | -3476 | -8 | 16200 | -44 | -50 | 24 | 73.9 | 1.053.144 | 5.157.965 | 11 | 28186 |
| | -3452 | 44 | 16168 | -42 | -50 | 22 | 71.8 | 1.053.144 | 5.157.969 | 11 | 62789 |
| | -3168 | -236 | 16088 | -46 | -52 | 24 | 71.5 | 1.053.146 | 5.157.979 | 11 | 21168 |
| | -3112 | -36 | 16068 | -45 | -48 | 21 | 70.5 | 1.053.146 | 5.157.978 | 11 | 20143 |
| | -3100 | -100 | 15924 | -44 | -50 | 21 | 68.5 | 1.053.146 | 5.157.973 | 11 | 18093 |
| 3 | -3124 | -128 | 16000 | -45 | -50 | 21 | 66.9 | 1.053.146 | 5.157.972 | 11 | 16043 |
| | -3116 | -128 | 16024 | -42 | -52 | 26 | 64.8 | 1.053.146 | 5.157.976 | 11 | 13993 |
| | -3176 | -224 | 16236 | -47 | -52 | 30 | 62.2 | 1.053.146 | 5.157.951 | 11 | 11943 |
| | -3164 | -144 | 16016 | -47 | -49 | 19 | 59.9 | 1.053.147 | 5.157.969 | 11 | 8868 |
| | -3184 | -144 | 16028 | -47 | -51 | 17 | 58.8 | 1.053.147 | - | 11 | 7843 |

| No | Pengujian | | | | | | | | | | |
|----|-----------|---------|---------|--------|--------|--------|----------|-----------|-----------|-----|-------|
| | Accel X | Accel Y | Accel Z | Gyro X | Gyro Y | Gyro Z | Altitude | Longitude | Latitude | Sat | CRC |
| 4 | -3192 | -204 | 16084 | -45 | -47 | 22 | 57.1 | 1.053.147 | 5.157.983 | 10 | 61443 |
| | -3148 | -132 | 16316 | -45 | -47 | 26 | 76.1 | 1.053.146 | 5.157.982 | 10 | 1636 |
| | -3108 | -128 | 16104 | -46 | -52 | 26 | 57.1 | 1.053.147 | 5.157.942 | 11 | 6818 |
| | -3140 | -160 | 16128 | -46 | -51 | 23 | 58.9 | 1.053.146 | 5.157.988 | 11 | 7843 |
| | -3108 | -116 | 15956 | -45 | -50 | 22 | 82.5 | 1.053.145 | 5.157.981 | 11 | 32443 |
| | -3168 | -140 | 16112 | -46 | -50 | 24 | 84.5 | 1.053.145 | 5.157.983 | 11 | 34493 |
| | -3200 | -156 | 15980 | -46 | -51 | 20 | 86.8 | 1.053.145 | 5.157.987 | 11 | 36543 |
| | -3200 | -156 | 15980 | -46 | -51 | 20 | 86.8 | 1.053.145 | 5.157.987 | 11 | 36543 |
| | -3080 | -116 | 15960 | -47 | -48 | 20 | 85.9 | 1.053.145 | 5.157.988 | 11 | 35518 |
| | -3064 | -100 | 16104 | -46 | -48 | 20 | 80.1 | 1.053.145 | 5.157.982 | 11 | 30393 |
| | -3108 | -116 | 15956 | -45 | -50 | 22 | 82.5 | 1.053.145 | 5.157.981 | 11 | 32443 |

Pada Tabel 11 terlihat dari serial monitor hasil penerimaan paket data yang dikirim dalam pengiriman 5 kali percobaan ini masih tidak ada paket yang rusak, yang mana jika CRC dibuat oleh pemancar dan yang di buat oleh penerima karena validasinya tidak sama maka paket data yang diterima tidak di tampilkan di GCS.

4. KESIMPULAN

Dari hasil penelitian yang telah di lakukan dalam pengamanan data pada UAV dan GCS dapat di simpulkan telah berhasil menguji sistem keamanan data sehingga pada saat menerima paket data tetap terjaga integritasnya. Dengan menggunakan algoritma CRC sebagai error checking dapat mampu mendeteksi paket-paket yang rusak saat dikirim ke receiver dapat terlihat jelas dari segi jarak, saat pengujian jarak tanpa menggunakan CRC dengan varian jarak 10 sampai 50 meter terjadi kerusakan paket data dan semakin jauh komunikasi yang dilakukan paket yang rusak semakin banyak. Dari jarak yang paling jauh yaitu 50 meter, dari 5 percobaan pengiriman dan di setiap percobaan selalu ada paket data yang mengalami kerusakan paket data, namun dengan menggunakan algoritma CRC dalam error checking di jarak varian jarak 10 sampai 50 meter dalam 5 kali percobaan pengiriman dan diambil 10 paket yang dikirim masih belum ada paket yang rusak alias 0% kerusakan paket data. Penulis menyatakan terdapat beberapa kelemahan pada alat yang di buat yaitu membutuhkan waktu untuk melakukan koneksi atau sinkronisasi antara receiver dan transmitter menggunakan telemetri tipe nrf24l01. Permasalahan tersebut terjadi karena terdapat beberapa jenis telemetri yang memerlukan beberapa waktu untuk melakukan sinkronisasi agar dapat terhubung satu sama lain dan juga penulis juga memberikan saran kepada peneliti selanjutnya agar dapat menggunakan telemetri yang lebih baik lagi untuk meningkatkan jarak komunikasi yang lebih

REFERENCES

- [1] F. Tan, J. B. Budiman, and Skynyrd, “Perbandingan Perkembangan Teknologi Berbasis Nirkabel di Daerah Pelosok dan Daerah Kota,” *Jurnal Sains, Nalar, dan Aplikasi Teknologi Informasi*, vol. 2, no. 2, pp. 25–31, Sep. 2023, doi: 10.20885/snati.v2i2.23.
- [2] R. Junarto and D. Djurjani, “Pemanfaatan Teknologi Unmanned Aerial Vehicle (UAV) untuk Pemetaan Kadaster,” *BHUMI: Jurnal Agraria dan Pertanahan*, vol. 6, no. 1, May 2020, doi: 10.31292/jb.v6i1.428.
- [3] Fediansyah, “KOMUNIKASI DATA PADA MODEL TRANSMISI,” 2019.
- [4] Adiguna Yudhato, “Implementation of Telemetry-Based Thermocouple Sensors for Measuring Thermal of Rocket Propellant Combustion,” 2020.
- [5] Ainun Arsyi Sahifa, Rachmad Setiawan, and Muhammad Yazid, “Data Transfer Internet of Things Based for Remote Monitoring of Hemodialysis Systems,” 2020.
- [6] Griffani Megiyanto Rahmatullah and Muhamad Rizki, “Custom Cyclic Redundancy Check and Communication Management of Sending and Receiving Data on a Delay Tolerant Network Architecture,” 2021.

- [7] Fredy Aga Nugroho, Raden Sumiharto, and Roghib Muhammad Hujja, "Development of Webserver Internet-Based Ground Control Station System for Unmanned Aircraft," 2018.
- [8] D. Y. Setyawan, "Internet of Things (IoT) Application in Smart Farming to Optimize Tomato Growth," 2020.
- [9] B. Usman and B. Hsu, "Seminar Nasional Hasil Penelitian dan Pengabdian 2019 IBI DARMAJAYA Bandar Lampung," 2019.
- [10] A. Efendi and R. Handayani, "IOT-Based Home Security Using Magnetic Sensor," 2020.
- [11] I. Solikin and M. Soekarno Putra, "Seminar Nasional Teknologi dan Bisnis 2018 IIB DARMAJAYA Bandar Lampung," 2018.
- [12] S. Opipah, H. Qodim, D. Miharja, Sarbini, E. A. Z. Hamidi, and T. Juhana, "Prototype Design of Smart Home System Base on LoRa," *2020 6th International Conference on Wireless and Telematics (ICWT)*, pp. 1–5, 2020.
- [13] F. A. R. M. Wildan, E. A. Z. Hamidi, and T. Juhana, "The Design of Application for Smart Home Base on LoRa," 2020.
- [14] A. R. Rianto and T. A. Firmansah, "Telegram Bot Implementation in Academic Information Services with The Forward Chaining Method," *Sinkron*, vol. 3, no. 2, 2019.
- [15] M. K. Alief Anugerah and S. Gunawan Zain, "PENGEMBANGAN SMART FITTING BERBASIS IOT (INTERNET OF THINGS) DENGAN MENGGUNAKAN MIKROKONTROLER ESP 32 S DEVELOPMENT OF SMART FITTINGS BASED ON IOT (INTERNET OF THINGS) USING ESP 32 S MICROCONTROLLER," 2022.
- [16] I. Isnawaty, S. Subardin, and L. L. Normawan, "Penerapan Internet Of Things (Iot) Pada Sistem Monitoring Tempat Sampah Rumah Tangga Menggunakan Metode Haversine Formula," *Digital Transformation Technology*, vol. 2, no. 2, pp. 35–44, Oct. 2022, doi: 10.47709/digitech.v2i2.1803.
- [17] S. Samsugi, A. Nurkholis, B. Permatasari, A. Candra Nugroho, and A. Bagus Prasetyo, "INTERNET OF THINGS UNTUK PENINGKATAN PENGETAHUAN TEKNOLOGI BAGI SISWA," *Journal of Technology and Social for Community Service (JTSCS)*, vol. 2, no. 2, pp. 173–177, 2020, [Online]. Available: <https://ejurnal.teknokrat.ac.id/index.php/teknoabdimas>
- [18] R. A. P. Riza, I. Permana, M. Ikhsan, and S. Bayu Setiaji, "PENGOPTIMALAN PERANCANGAN PESAWAT UAV (QUADCOPTER) TERHADAP BERAT TOTAL YANG BERPENGARUH PADA ESTIMASI WAKTU TERBANG," *Teknika STTKD: Jurnal Teknik, Elektronik, Engine*, vol. 9, no. 1, pp. 152–158, Jul. 2023, doi: 10.56521/teknika.v9i1.888.
- [19] N. Sugandhi, H. Rakuasa, W. Abdul Wahab, A. Jaelani, and M. Rinaldi, "Pemanfaatan Unmanned Aerial Vehicle (UAV) Untuk Pemetaan Penggunaan Lahan di Sekitar Waduk Pondok Ranggon, Provinsi DKI Jakarta," *Jurnal Ilmiah Multidisiplin*, vol. 2, no. 7, 2023.
- [20] R. Lazuardi and A. Bandur, "U N I V E R S I T A S M U H A M M A D I Y A H J A K A R T A ANALISIS PENGGUNAAN TEKNOLOGI PESAWAT TANPA AWAK DALAM MENDUKUNG OPERASI PENGAMANAN DI WILAYAH PERBATASAN DARAT RI-RDTL," 2022, doi: 10.24853/jurtek.14.1.1-12.